

## بررسی اثر میکروکانال‌های laser-lok بر روی تنش‌های وارد بر استخوان کرستال به روش آنالیز المان محدود

### خلاصه

**مقدمه:** در این تحقیق با روش آنالیز المان محدود به بررسی تأثیر میکروکانال‌های Laser-Lok بر روی توزیع تنش‌های وارد بر استخوان کرستال در ناحیه فصل مشترک استخوان با کولار در ایمپلنت Laser-Lok می‌پردازیم و نتایج را با نمونه شاهد که فاقد این میکروکانال‌ها است، مقایسه می‌نماییم تا مشخص گردد که طراحی خاص میکروکانال‌های Laser-Lok چه تأثیری بر روی میزان تنش‌های وارد بر استخوان کرستال خواهد داشت.

**روش بررسی:** برای انجام آنالیز المان محدود در ابتدا مدل سه بعدی ایمپلنت Laser-Lok و ایمپلنت شاهد و همچنین مدل سه بعدی استخوان فک پایین (مندبیل)، را تهیه کردیم. سپس هر دو ایمپلنت را به طور جداگانه با استخوان مندبیل در ناحیه پره‌مولر، البته با درنظر گرفتن شرایط مرزی مناسب، مونتاژ نمودیم. پس از مشبندی و درنظر گرفتن المان‌های مطلوب با توجه به نیروهای وارد بر دندان در حین جویدن و درنظر گرفتن شرایط طبیعی، نیروی ۱۰۰ نیوتونی را در دو حالت محوری و مایل با دو زاویه ۱۵ و ۴۵ درجه به مرکز ابانتمنت هر دو ایمپلنت Laser-Lok و شاهد در شرایط کاملاً یکسان وارد کردیم.

**یافته‌ها:** نتایج بدست آمده در این تحقیق حاکی از کاهش تنش‌های وارد بر استخوان کرستال در ایمپلنت Laser-Lok نسبت به ایمپلنت شاهد بود. به طور کلی در تمامی حالات ایمپلنت Laser-Lok نسبت به نمونه شاهد، برتر نشان داد و تنش کمتری را به استخوان کرستال اطرافش وارد کرد.

**نتیجه گیری:** این نتایج نشان دهنده مؤثر بودن طراحی خاص میکروکانال‌های Laser-Lok بر روی کولار در جهت کاهش تنش‌های وارد بر استخوان کرستال اطراف بود. با توجه به فرضیه تأثیر عوامل استرس‌زا مبنی بر اینکه هرچه تنش‌های وارد بر استخوان کرستال کمتر باشد احتمال تحلیل استخوان در این ناحیه نیز کمتر است، می‌توان ادعا کرد که این طراحی منحصر به فرد ایمپلنت Laser-Lok در نهایت منجر به کاهش تحلیل استخوان کرستال در این ایمپلنت می‌گردد.

**واژه‌های کلیدی:** ایمپلنت لیزرلک (Laser-Lok)، آنالیز المان محدود (FEA)، تحلیل استخوان کرستال، توزیع تنش، سطح ایمپلنت، میکروکانال‌های لیزرلک

رضا اییانی<sup>۱</sup>

البیارگرامی<sup>۲</sup>

مسعود خندانی<sup>۱</sup>

کاوه سیدان<sup>۳</sup>

مسعود رنگی<sup>۰۹</sup>

اکارشناسی ارشد مهندسی پزشکی - بیومتریال، دانشکده مهندسی پزشکی دانشگاه آزاد اسلامی واحد علوم و تحقیقات آستانه ارتودنسی، دانشکده دندانپزشکی دانشگاه علوم پزشکی تهران

دانشیار پروتر، دانشکده دندانپزشکی دانشگاه علوم پزشکی شهید بهشتی آستانه دندانپزشکی، دانشکده مهندسی پزشکی دانشگاه آزاد اسلامی واحد علوم و تحقیقات آستانه دندانپزشکی دانشگاه علوم پزشکی آستانه ارتودنسی دانشگاه امام حسین<sup>(۴)</sup>

نویسنده مسؤول: کاوه سیدان، تهران، دانشگاه علوم پزشکی شهید بهشتی، دانشکده دندانپزشکی، تلفن: ۰۹۱۲۳۳۷۷۷۰، پست الکترونیک: kseyedan@hotmail.com

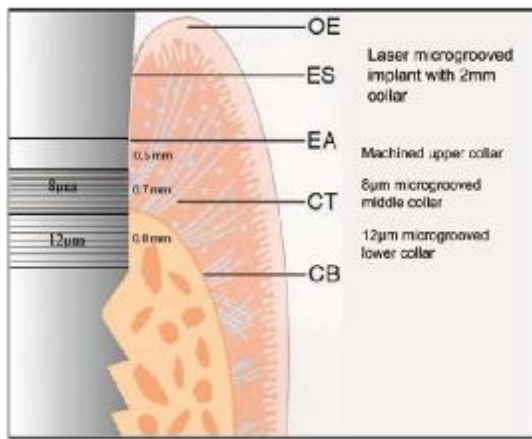
### مقدمه

امروزه، در صنعت ساخت ایمپلنت آماده‌سازی‌های سطح و طراحی‌های مختلفی وجود دارد که نقش مهمی در ایجاد اتصال بافت به ایمپلنت و میزان موقوفیت ایمپلنت‌ها دارد. تمام کاری بیرونی ترین لایه ایمپلنت نقش بسیار مهمی در سطح رشد استخوان دارد. انواع مختلف آماده‌سازی سطح از جمله ماشین کاری، اچ کردن با اسید<sup>۱</sup>، ماشین کاری لیزر، بلست کردن و استفاده از مواد پاشیدنی قابل جذب<sup>(۲)</sup> (RBM) و پوشش‌های آلیاژی که باعث افزایش فعالیت استخوان می‌شود، مورد استفاده قرار می‌گیرند. اغلب از ترکیب چند روش برای فیکس شدن بهتر ایمپلنت استفاده می‌کنند. برای مثال Szmukler Moncler

<sup>۱</sup>acid etched

<sup>۲</sup>ResorbableBlastMedium

بررسی ایمپلنت Laser-Lok از کمپانی BioHorizons می‌پردازیم. ایمپلنت internal Laser-Lok از آلیاژ Ti-6Al-4V به طول ۱۰ میلی‌متر و قطر ۴ میلی‌متر می‌باشد. در اینجا مهم‌ترین قسمت طراحی روی کولار زاویده‌دار این ایمپلنت می‌باشد. بهاین ترتیب که توسط تکنیک لیزر ابليشن میکروکانال‌های مربعی بسیار دقیق، منظم و موازی یکدیگر روی قسمت کولار ۲ میلی‌متری این ایمپلنت طراحی می‌شوند که میکروکانال‌های Laser-Lok نامیده شده‌اند. ناحیه ۰/۵ میلی‌متر بالای کولار صاف می‌باشد و در ۰/۷ وسط کولار میکروکانال‌هایی به فاصله ۸ میکرون و عمق ۵ میکرون که در تماس با بافت نرم است، جهت بهینه‌ساختن سطح ایمپلنت برای اتصال بافت همبند وجود دارد. در ۰/۸ میلی‌متر پایین کولار که در تماس با بافت سخت قرار دارد، میکروکانال‌هایی به فاصله ۱۲ میکرون و عمق ۱۰ میکرون قرار گرفته است که جهت بهینه‌ساختن سطح ایمپلنت برای اتصال بهتر به استخوان طراحی شده‌اند [۴].



شکل ۱: موقعیت قرارگیری میکروکانال‌های Laser-Lok نسبت به بافت‌های اطراف

اتصال بافت نرم و سخت با میکروکانال‌های ۸ و ۱۲ میکرونی روی کولار به دلیل خاصیت کنترل جهت سلولی و هدایت تماسی<sup>۳</sup> این میکروکانال‌ها است که نتیجه بیش از ۱۵ سال بررسی‌های گستردگی در این زمینه می‌باشد (شکل ۱). تحقیقات وسیع بر روی ایمپلنت Tapered Laser-Lok نشان داده‌اند که طراحی خاص کولار ایمپلنت Laser-Lok منجر به کاهش تحلیل استخوان کرستال می‌گردد.

در یک تحقیق بافت شناسی در سال ۲۰۰۸ که توسط Nevins و همکارانش انجام گرفت، اتصال بافت همبند به میکروکانال‌های ۸ میکرونی ایمپلنت Laser-Lok مشخص گردید و هیچ علامتی از التهاب هم دیده نشد. این اتصال بافت همبند به ایمپلنت از جایه‌جایی

این شیارهای میکرونی روی سطح ایمپلنت ایجاد می‌شود و سلول‌های استخوانی می‌توانند در آنجا رشد کنند، اما هیچ نظم خاصی ندارند و نمی‌توانند منجر به رشد سلولی در جهت خاصی شوند. حال برای هدایت و کنترل رشد سلولی در جهت دلخواه، کمپانی BioHorizons توسط تکنیک لیزر ابليشن میکروکانال‌های دقیق در ابعاد سلولی و با کیفیت سطحی بسیار بالا را روی کولار ایمپلنت Laser-Lok ایجاد نمود. مزیت اصلی این میکروکانال‌های ظرفی و منظم، کنترل جهت رشد سلولی می‌باشد به این ترتیب که میکروکانال‌ها از رشد سلول در جهت عمود (محور Y) جلوگیری می‌کنند و در عوض باعث رشد سلولی در جهت موازی با میکروکانال‌ها (محور X) می‌گردند.

تحلیل استخوان کرستال می‌تواند به دلایل مختلفی ایجاد شود که مهم‌ترین آن‌ها پاسخ استخوان به عوامل بیولوژیکی موجود در سطح تماس استخوان و ایمپلنت و همچنین پاسخ استخوان به فاکتورهای مکانیکی بارهای اعمال شده می‌باشد. درنتیجه استخوان کرستال در اطراف ایمپلنت شکلی همچون نعلبکی پیدا می‌کند که می‌تواند با گذشت زمان بیشتر شود و باعث شکست گردد.

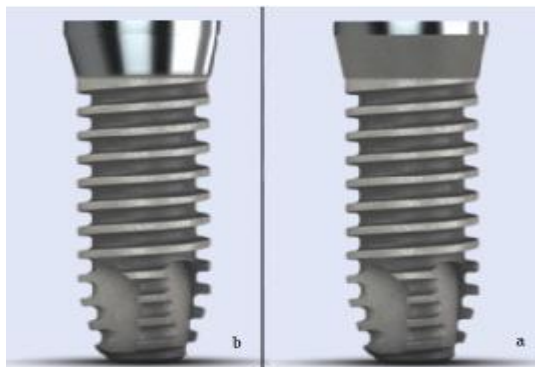
مقدار تحلیل زودرس استخوان کرستال متغیر است و بعد از سال اول به مقدار زیادی کاهش می‌یابد. Adell میانگین تحلیل اولیه را ۱/۵ میلی‌متر از اولین رزوه گزارش کرده است یعنی، در بعضی ایمپلنت‌ها میزان تحلیل کمتر از این مقدار و در سایر ایمپلنت‌ها بیش از این مقدار است [۲]. گزارش‌های مختلفی در مورد ایمپلنت‌های با دوره ترمیم مشابه و نیروی واردۀ یکسان نشان می‌دهند که نوع طراحی ایمپلنت بر تحلیل استخوان کرستال تأثیر می‌گذارد. طرح‌های ایمپلنت ممکن است بر مقدار یا نوع نیروی واردۀ بر ایمپلنت تأثیر گذارد [۳]. مثلاً یک کولار صاف باعث انتقال نیروهای برشی به استخوان می‌شود که استخوان کمترین میزان تحمل نسبت به آن را دارد. استخوان در برابر نیروهای فشاری بیشترین مقاومت را دارد. در برابر نیروهای کششی ۳۰ درصد ضعیفتر و در برابر نیروهای برشی ۶۵ درصد ضعیفتر است.

از نظر مکانیکی، تنفس زیاد می‌تواند مسئول تحلیل استخوان کرستال باشد. یک روش بیومکانیکی جهت کاهش تنفس، افزایش سطح ناحیه‌ای است که در تماس با ایمپلنت می‌باشد و ایمپلنت را حمایت می‌کند. در نتیجه با طراحی مناسب ایمپلنت بهخصوص روی کولار آن که در تماس با استخوان کرستال است، می‌توان سطح تماس ایمپلنت با استخوان را در این ناحیه حساس آناتومیک افزایش داد و باعث کاهش تنفس وارد بر استخوان شد. در این تحقیق با درنظرگرفتن نوع طراحی مناسب برروی کولار ایمپلنت که در تماس با استخوان کرستال می‌باشد و در جهت افزایش سطح تماس فانکشنال در این ناحیه به

<sup>۴</sup>Contactguidance

<sup>۳</sup>saucer-like shape

بررسی و با نمونه ایمپلنت شاهد مقایسه می نماییم. لازم به ذکر است که ایمپلنت شاهد در این تحقیق از همه نظر از قبیل اندازه، شکل، جنس، ابعاد، زوایا و ... کاملاً مشابه ایمپلنت Laser-Lok می باشد و تنها تفاوت آن ها در ناحیه کولار است. به این ترتیب که نمونه شاهد فاقد میکرو کانال های Laser-Lok می باشد و دارای کولار ماشین شده است. در نتیجه با مقایسه این دو ایمپلنت، تأثیر میکرو کانال های Laser-Lok بر روی میزان و نحوه توزیع تنش در استخوان اطرافش را بررسی می کنیم (شکل ۲).



شکل ۲: (الف) ایمپلنت شاهد، (ب) ایمپلنت شاهد

روش کار برای بررسی تنش در استخوان اطراف ایمپلنت Laser-Lok و مقایسه با ایمپلنت شاهد به این ترتیب است که پس از ساخت مدل سه بعدی ایمپلنت Laser-Lok و ایمپلنت شاهد و همچنین مدل سه بعدی استخوان فک پایین (مندیبل)، هر دو ایمپلنت را به طور جداگانه با استخوان مندبیل در ناحیه پره مولر و البته با در نظر گرفتن شرایط مرzi مناسب مونتاژ می نماییم. پس از مشیندی و در نظر گرفتن المان های مورد نظر با توجه به نیروهای وارد بر دندان در حین جویدن و در نظر گرفتن شرایط طبیعی، نیروی ۱۰۰ نیوتینی را در دو حالت محوری<sup>۶</sup> (صفر درجه) و مایل<sup>۷</sup> با دو زاویه ۱۵ و ۴۵ درجه به مرکز اباتمنت ایمپلنت ها اعمال می کنیم. حال با توجه به روش آنالیز المان محدود توسط نرم افزار ANSYS دو فصل مشترک در قسمت کولار - استخوان را برای نرم افزار تعریف می کنیم. از آنجا که در ایمپلنت Laser-Lok بدليل وجود میکرو کانال های ۱۲ میکرونی روی کولار، قفل مکانیکی با استخوان های اطراف ایجاد و در نتیجه کاملاً اتصال کولار با استخوان برقرار می شود، حالت bonded تعريف می گردد در حالی که در ایمپلنت شاهد بدليل وجود کولار صاف و ماشین شده، هیچ گونه اتصال مکانیکی بین کولار با استخوان اطراف برقرار نمی شود و حالت nonbonded (frictionless) برای آن فرض می شود.

اپیکال اپی تلیوم جلوگیری می نماید و به عنوان یک سیل بیولوژیکی با محافظت بیشتر از استخوان باعث کاهش تحلیل استخوان کرستال می گردد [۵].

یک تحقیق وسیع کلینیکی توسط Ricci و همکارانش در سال ۲۰۰۹ انجام گرفت. بررسی های لازم در مدت ۳۷ ماه بر روی ۱۵ بیمار که برای هر نفر یک ایمپلنت Laser-Lok در مقایسه با یک ایمپلنت شاهد وجود داشت، انجام گرفت. در ماه ۳۷ ام متوسط عمق پروب، ۳/۰ میلی متر برای ایمپلنت Laser-Lok در مقایسه با ۳/۶ میلی متر برای ایمپلنت شاهد می باشد که این کاهش عمق پروب نشان دهنده تشكیل یک سیل بافت نرم در بالای استخوان کرستال در ایمپلنت Laser Lok است. همچنین در طول مدت ۳۷ ماه، تحلیل استخوان کرستال برای ایمپلنت Laser-Lok تنها ۵/۹ میلی متر بود در حالی که برای ایمپلنت شاهد تا ۱/۹۴ میلی متر بوده است [۴].

در یک تحقیق شبیه سازی Ricci، Alexander و همکارانش در سال ۲۰۰۷ به بررسی و تحلیل تنش های وارد بر استخوان کرستال در اینترفیس کولار ایمپلنت Tapered Laser-Lok و مقایسه آن با نمونه شاهد پرداختند. این تحقیق با اعمال بار ۸۰ نیوتینی در دو حالت محوری و جانبی نشان دهنده کاهش تنش های اطراف استخوان کرستال در ایمپلنت Laser-Lok نسبت به نمونه شاهد بود [۶].

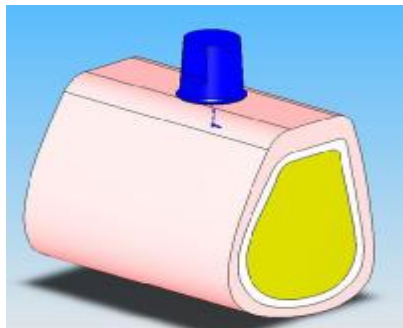
### روش بررسی

روش آنالیز المان محدود<sup>۵</sup> در حل مسائلی با هندسه پیچیده به کار گرفته می شود که حل دقیق این مسائل به روش های دیگر غیر ممکن می باشد. روش اجزای محدود یک تکنیک برای حل مسائل مکانیکی پیچیده با تقسیم مدل توسط مش بنده به مجموعه ای از اجزای کوچکتر و ساده تر می باشد که متغیرهای میدانی در این المان ها با استفاده از توابع شکلی قابل درون یابی می باشند. به عبارت دیگر روشی است که به جای اینکه بدنبال یک تابع حل برای کل مدل بگردد، توابع حلی را برای هر جزء محدود (المان) فرموله می کند و سپس آن ها را برای به دست آوردن حل کل مدل به دقت با هم تلفیق می نماید.

شبیه سازی اجزای محدود یک ایمپلنت دندانی از نظر نوع، جزء گروه تحلیل جامدات است که با یکسری از نرم افزارهای پیشرفته قابل اجرا می باشد. از آنجاکه تحلیل نیروها در فصل مشترک ایمپلنت با استخوان انجام می گیرد، تحلیل تماسی مورد نیاز می باشد. دو نرم افزار نام آشنا در این حوزه ANSYS و ABAQUS می باشند که در این پروژه از نرم افزار ANSYS 10.0 Workbench از نرم افزار ۱۰.۰ استفاده شده است. در این تحقیق ما به روش آنالیز المان محدود، تنش های وارد بر استخوان کرستال در اطراف ایمپلنت Laser-Lok Internal را

<sup>6</sup>axial  
<sup>7</sup>oblique

<sup>5</sup>Finite Element Analysis(FEA)



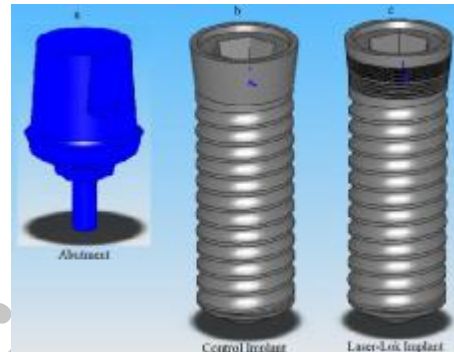
شکل ۵: مدل ایمپلنت قرار گرفته در استخوان مندیبل قبل از مش خواص مکانیکی مواد و مش بندی مدل

در جدول زیر خواص مکانیکی مواد مختلف مورد استفاده در این تحقیق آورده شده است. خواص مواد به صورت ایزوتروپیک<sup>۸</sup> و الاستیک خطی<sup>۹</sup> فرض شدند. همچنین مواد به صورت هموژن درنظر گرفته شدند (جدول ۱) [۸و۷].

جدول ۱: خواص مکانیکی مواد به کار رفته در این تحقیق

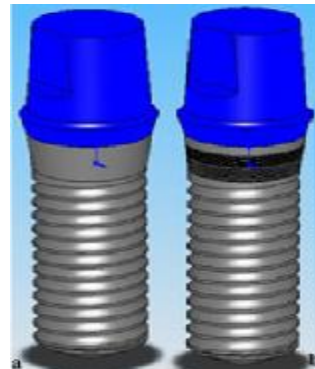
نسبت پواسون	مواد	مدول (GPa)	قسمت
۰/۲۶	استخوان کوتیکال	۳۴۰۰	استخوان مندیبل
۰/۳۸	استخوان اسفنجی	۱۳۴۰	
۰/۳۶	Ti-6Al-4V	۱۱۰۰۰	ایمپلنت
۰/۳۶	Ti-6Al-4V	۱۱۰۰۰	اباتمنت

در این تحقیق مدل‌های سه بعدی استخوان مندیبل، ایمپلنت Laser-Lok و ایمپلنت شاهد و نیز مدل سه بعدی ابامننت هم اندازه Solidworks آنها به روش top-down<sup>۱۰</sup> و با استفاده از نرم‌افزار 2006 مدل‌سازی شدند (شکل ۳). با اصلاح مدل ساخته شده در حد مطلوب و بعد از اینکه مدل‌ها دارای حداکثر شباهت با واقعیت شدند، در مرحله بعدی جهت آنالیز و تحلیل نهایی به ANSYS انتقال داده شدند.



شکل ۳: (الف) مدل ابامننت، (ب) مدل ایمپلنت شاهد، (ج) مدل ایمپلنت Laser-Lok

حال مدل ابامننت همسایز را برروی ایمپلنت‌ها قرار می‌دهیم (شکل ۴).



شکل ۴: (الف) مدل ایمپلنت شاهد با ابامننت هم اندازه، (ب) مدل ایمپلنت Laser-Lok با ابامننت هم اندازه

سپس هر دو ایمپلنت را جداگانه در مدل استخوان مندیبل جای گذاری و مونتاژ می‌کنیم (شکل ۴).

در مرحله مشبندی، مدل موجود که از یک سری حجم‌ها تشکیل شده است به اجزای کوچکتری به نام المان تقسیم می‌شود که این المان‌ها در محل گره‌ها به هم می‌پیوندند (شکل ۶). در این تحقیق با ایجاد مشبندی ریز برای افزایش دقیق آنالیز از تعداد المان‌های زیادی استفاده کردیم به این ترتیب که ۱۶۴۷۴۴ گره و ۱۳۵۵۶۶ المان ایجاد کردیم که ۸۷۴۷۶ المان توپر<sup>۱۱</sup> و از نوع 10 Node Quadratic Tetrahedron و ۴۸۰۹۰ المان تمامی<sup>۱۲</sup> در نظر گرفته شد.

حال مدل مشبندی شده آماده اعمال شرایط مرزی<sup>۱۳</sup> می‌باشد. در این مرحله تمام نقاط در بخش مزیالی و دیستالی مدل از حرکت در تمام امتدادها منع گردیدند.

بارگذاری و اعمال نیرو: در این مرحله نیروی ۱۰۰ نیوتونی به مرکز ابامننت ایمپلنت Laser-Lok و نیز ایمپلنت شاهد وارد گردید. ابتدا نیروی ۱۰۰ نیوتونی به صورت محوری سپس نیروهای مایل ۱۵ درجه و

<sup>8</sup>Isotropic

<sup>9</sup>Linear Elastic

<sup>10</sup>solid

<sup>11</sup>contact

<sup>12</sup>BoundaryCondition

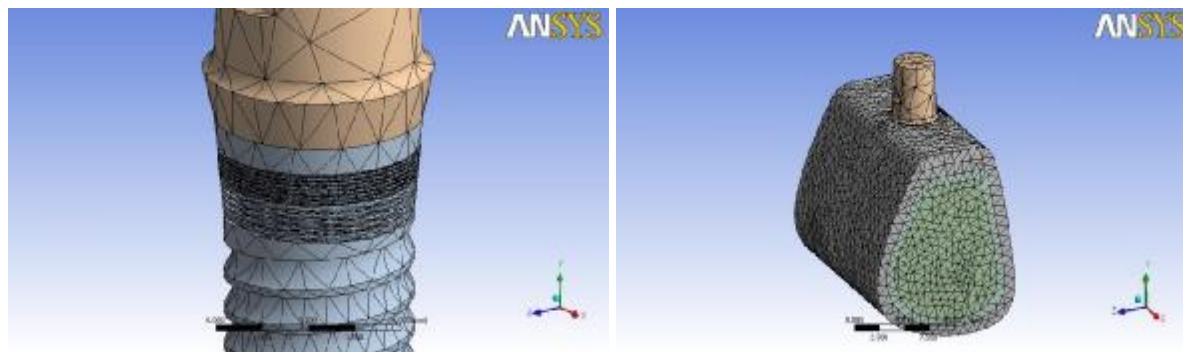
مگاپاسکال با میانگین  $4/6870$  مگاپاسکال بود. در حالی که این تنش‌ها در ایمپلنت شاهد در  $6$  نقطه متناظر از استخوان کرستال به ترتیب  $1/7027$ ،  $4/2337$ ،  $1/7027$ ،  $4/2391$  و  $1/65$  مگاپاسکال با میانگین  $5/1369$  مگاپاسکال بود که به طور کلی بیشتر از تنش استخوان کرستال در ایمپلنت Laser-Lok می‌باشد (جدول ۲).

در نهایت  $45$  درجه بر مرکز اباتمنت ایمپلنت‌ها اعمال گردید. حال مدل‌ها در هر مرحله با یک بارگذاری توسط Solver حل می‌گردد و نتایج به دست می‌آید.

### یافته‌ها

در این بخش نتایج به دست آمده از مدلسازی‌ها به روش آنالیز المان محدود توسط نرم افزار ANSYS را بیان می‌کنیم.

در این تحقیق برای بررسی دقیق‌تر میزان تنش در ناحیه مهم استخوان کرستال که در تماس با میکروکانال‌های  $12$  میکرونی قرار دارند در این ناحیه،  $6$  نقطه را که  $1/8$  میلی‌متر طول دارد، با فوائل



شکل ۶: مش بندي ايمپلنت Laser-Lok

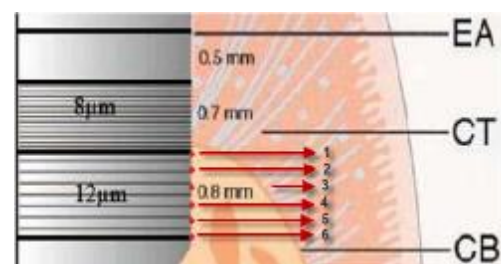
جدول ۲: نشان دهنده تنش‌های وارد بر استخوان کرستال در دو ایمپلنت Laser-Lok و شاهد با اعمال نیروی محوری  $100$  نیوتون

استخوان کرستال Crestal Bone	تش در ایمپلنت Laser-Lok (MPa)	تش در ایمپلنت شاهد (control) (MPa)
۱	$13/007$	$17/2$
۲	$4/1285$	$4/2391$
۳	$2/7402$	$4/3337$
۴	$2/4741$	$1/7027$
۵	$3/3992$	$1/6963$
۶	$2/3735$	$1/65$
میانگین	$4/6870$	$5/1369$

مقایسه مقادیر تنش در  $6$  نقطه از استخوان کرستال با اعمال نیروی مایل  $15$  درجه:

در این حالت نیروی  $100$  نیوتونی مایل را با زاویه  $15$  درجه به مرکز اباتمنت ایمپلنت Laser-Lok و شاهد اعمال کردیم. تنش‌ها در فصل مشترک میکروکانال‌های Laser-Lok با استخوان کرستال از بالا

مساوی مشخص می‌کنیم و تنش را در این نقاط از استخوان آنالیز می‌نماییم (شکل ۷).



شکل ۷- تنش در اینترفیس کولار- استخوان در ناحیه میکروکانال‌های  $12$  میکرونی در  $6$  نقطه با فوائل یکسان از هم بررسی شد (نقاط قرمز رنگ)

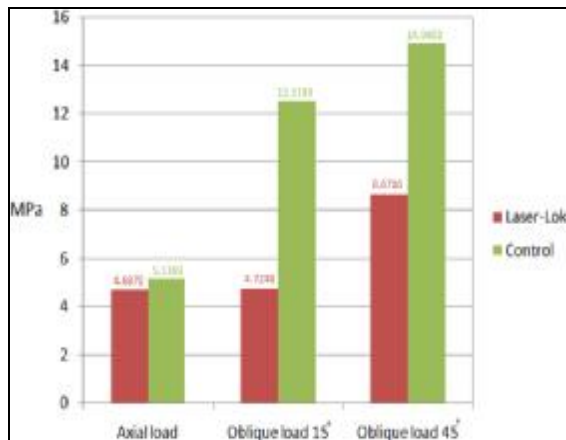
مقایسه مقادیر تنش در  $6$  نقطه از استخوان کرستال با اعمال نیروی محوری:

تش‌های ایجاد شده به ازای اعمال نیروی محوری  $100$  نیوتونی در  $6$  نقطه از استخوان کرستال در ایمپلنت Laser-Lok از بالا به پایین به  $2/3735$ ،  $3/3992$ ،  $2/4741$ ،  $2/7402$ ،  $4/1285$  و  $13/007$  ترتیب

۳	۵/۴۴	۳۱/۶۲۷
۴	۵/۰۷	۱۰/۶۱۹
۵	۴/۸۲	۲/۹۱
۶	۴/۶۴	۱/۴۰۷
میانگین	۸/۶۷۱۶	۱۴/۹۴۰۳

مقایسه کلی مقادیر میانگین تنش ون میز استخوان کرستال بین دو ایمپلنت Laser-Lok و شاهد:

همان طور که دیدیم میزان تنش های ون میز مورد بررسی آنالیز امان محدود در ۶ نقطه در استخوان کرستال اطراف ایمپلنت Internal در تمام حالات کمتر از ایمپلنت شاهد بود. برتری ایمپلنت Laser-Lok در مورد کاهش تنش میانگین وارد بر استخوان کرستال با اعمال بار محوری، ۷۵/۸درصد نسبت به نمونه شاهد بود. اما با اعمال بار مایل با زاویه ۱۵ درجه، مشخصاً ایمپلنت Laser-Lok برتری ۴۱/۹۵ درصد و با زاویه ۴۵ درجه برتری ۴۶/۶۲ درصد را نسبت به ایمپلنت شاهد در مورد کاهش تنش های وارد بر استخوان کرستال از خود نشان داد (نمودار ۱).



نمودار ۱: برتری ایمپلنت Laser-Lok نسبت به نمونه شاهد در مورد کاهش میانگین تنش های وارد بر استخوان کرستال

## بحث و نتیجه گیری

به طور کلی با اعمال نیروی محوری و مایل، تنش ون میز استخوان کرستال در اطراف ایمپلنت Laser-Lok کمتر از تنش ون میز استخوان کرستال در اطراف ایمپلنت شاهد نشان داد. تنش ون میز کمتر استخوان کرستال در ایمپلنت Laser-Lok نسبت به ایمپلنت شاهد با توجه به اتصال استخوان کرستال به میکروکانال های Laser-Lok می باشد که در میکروکانال های ۱۲ میکرونی ایجاد قفل مکانیکی می نماید. این میکروکانال ها به طور عمده ای از جایه جایی اپیکال

به ترتیب ۱۲/۲۳۲، ۱۲/۲۳۲، ۵/۷۶۷۱، ۳/۰۱، ۲/۴۵، ۲/۵۹ و ۲/۳ مگاپاسکال با میانگین ۴/۷۲۴۸ مگاپاسکال بود در حالی که این تنش در استخوان کرستال ایمپلنت شاهد در نقاط متناظر به ترتیب ۱۸/۵۶۱، ۱۸/۹۱۲، ۱۲/۵۱۹۳ مگاپاسکال با میانگین ۲۰/۱۳ و ۵/۰۲۲، ۱۰/۱۷۶، ۲/۰۱۳ مگاپاسکال با میانگین ۱۲/۴۳۲ اطراف ایمپلنت شاهد استخوان کرستال در اطراف ایمپلنت Laser-Lok کمتر از تنش استخوان کرستال در اطراف ایمپلنت شاهد می باشد (جدول ۳).

جدول ۳: تنش های وارد بر استخوان کرستال در دو ایمپلنت-Laser Lok و شاهد با اعمال نیروی مایل ۱۰۰ نیوتونی با زاویه ۱۵ درجه

استخوان کرستال	تش در ایمپلنت Laser-Lok (MPa)	تش در ایمپلنت شاهد (control) (MPa)
۱	۱۲/۲۳۲	۱۸/۹۱۲
۲	۵/۷۶۷۱	۱۸/۵۶۱
۳	۳/۰۱	۲/۰۴۳۲
۴	۲/۵۹	۱۰/۱۷۶
۵	۲/۴۵	۵/۰۲۲
۶	۲/۳	۲/۰۱۳
میانگین	۴/۷۲۴۸	۱۲/۵۱۹۳

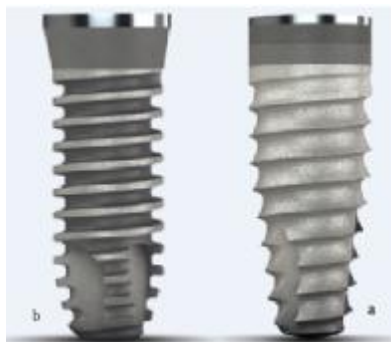
مقایسه مقادیر تنش در ۶ نقطه از استخوان کرستال با اعمال نیروی مایل ۴۵ درجه:

در نهایت با اعمال نیروی مایل با زاویه ۴۵ درجه بر ایمپلنت ها، تنش های ایجاد شده بر استخوان کرستال اطراف ایمپلنت-Laser Lok در ۶ نقطه از بالا به ترتیب ۲۵/۳۲، ۶/۷۴، ۵/۴۴، ۵/۰۷، ۴/۸۲، ۴/۶۴ مگاپاسکال با میانگین ۸/۶۷۱۶ مگاپاسکال مشخص گردید. در حالی که این مقادیر تنش در نقاط متناظر استخوان کرستال اطراف ایمپلنت شاهد به ترتیب ۲/۹۱، ۱۰/۶۱۹، ۳۱/۶۲۷، ۲۱/۱۷۸، ۱۰/۱۹۰۱ و ۱۴/۹۴۰۳ مگاپاسکال با میانگین ۱۴/۹۴۰۳ مگاپاسکال نشان داده شد (جدول ۴).

جدول ۴: تنش های وارد بر استخوان کرستال در دو ایمپلنت-Laser Lok و شاهد با اعمال نیروی مایل ۱۰۰ نیوتونی با زاویه ۴۵ درجه

استخوان کرستال	تش در ایمپلنت Laser-Lok (MPa)	تش در ایمپلنت شاهد (control) (MPa)
۱	۲۵/۳۲	۲۱/۹۰۱
۲	۶/۷۴	۲۱/۱۷۸

internal Laser-Lok به طور میانگین کمتر از تنش نشان داده شده در ایمپلنت tapered Alexander Laser-Lok توسط Misch به دست آمد [۶] که این می تواند به دلیل زاویه کولار در ایمپلنت internal باشد. برای توضیح این موضوع می توان به گفته Laser-Lok استناد نمود مبنی بر این که ناحیه کولار ایمپلنت در صورتی که دارای زاویه بیش از ۲۰ درجه باشد (مثل کولار internal Laser-Lok) که استخوان می گردد (میکرو کانال های ۱۲ میکرونی)، می تواند تا حدودی استخوان فشاری به استخوان اعمال نماید و خطر تحلیل استخوان را کاهش دهد [۹]. در نتیجه می توان گفت که ایمپلنت tapered Laser-Lok از نظر نحوه توزیع تنش برتر از ایمپلنت Laser-Lok می باشد که این برتری به دلیل نوع طراحی کولار و زاویه دار بودن آن است.



شکل ۸: (الف) ایمپلنت **tapered Laser-Lok** با کولار بدون زاویه و (ب) ایمپلنت **internal Laser-Lok** با کولار زاویه دار

سلول های ابی تلیال لثه ای و فیبروبلاست جلوگیری می کنند و باعث اتصال استئوبلاستها و بافت نرم و سخت به میکرو کانال ها می شود. همانطور که گفته شد یکی از دلایل اصلی کاهش تنش در استخوان کرستال اطراف ایمپلنت Laser-Lok ایجاد قفل مکانیکی استخوان کرستال در میکرو کانال های ۱۲ میکرونی است که روی کولار ایمپلنت Laser-Lok طراحی می شود و باعث افزایش سطح تماس فانکشنال استخوان با ایمپلنت Laser-Lok و درنتیجه کاهش تنش در استخوان کرستال اطراف ایمپلنت Laser-Lok نسبت به ایمپلنت شاهد می گردد. همچنین میکرو کانال های Laser-Lok که بسیار دقیق و مربعی شکل طراحی شده اند و در تماس با بافت سخت قرار دارند، تنش مخرب برشی وارد بر استخوان را کاهش می دهند و بیشتر تنش را به صورت فشاری به استخوان کرستال وارد می کنند که استخوان بیشترین مقاومت را در برابر آن دارد. درنتیجه از استخوان کرستال که در تماس با میکرو کانال های ۱۲ میکرونی است در مقایسه با استخوان در تماس با کولار صاف ایمپلنت شاهد بیشتر محافظت می گردد زیرا کولار صاف، تنش برشی بیشتری را به استخوان وارد می کند.

به طور کلی می توان گفت که برتری با میکرو کانال های Laser-Lok می باشد که سطح تماس را با استخوان کرستال افزایش می دهد و باعث تسهیل انتقال تنش به استخوان کرستال افزایش تمامی نقاط، تنش کمتری را به استخوان کرستال اطرافش اعمال می نماید. در نتیجه با توجه به فرضیه تأثیر عوامل استرس زا می توان Laser-Lok گفت که احتمال تحلیل استخوان کرستال در ایمپلنت به دلیل اعمال تنش کمتر بر استخوان کرستال، کمتر از ایمپلنت شاهد می باشد.

در نهایت ما به مقایسه تنش های وارد بر استخوان کرستال بین ایمپلنت های (الف) tapered Laser-Lok با کولار بدون زاویه که هم راستا با بدنه ایمپلنت می باشد و (ب) internal Laser-Lok با کولار زاویه دار می پردازیم (شکل ۸). نتایج تنشی که ما در ایمپلنت

## References

- Szmukler-Moncler S, Perrin D, Ahossi V, Magnin G, Bernard J-P. Biological properties of acid etched titanium implants: Effect of sandblasting on bone anchorage. *J Biomed Mater Res B* 2004; 68: 149-59.
- Adell R, Lekholm U, Rockler B. A 15 year study of osseointegrated implants in the treatment of the edentulous jaw. *Int J Oral Surg* 1981; 10: 387-416.
- Hansson S. The implant neck: smooth or provided with retention elements-a biomechanical approach. *Clin Oral Implants Res* 1999; 10: 394-405.
- Gabriele E, Ceccarelli R, Bonelli M, Alexander H, Ricci JL. Clinical Evaluation of Laser Microtexturing for Soft Tissue and Bone Attachment to Dental Implants. *Implant Dentistry* 2009; 1:18.
- Nevins M, Nevins ML, Camelo M, Boyesen JL, Kim DM. Human Histologic Evidence of a Connective Tissue Attachment to a Dental Implant. Quintessence Publishing Co.Inc; 2008.
- Alexander H, Ricci JL, Hrico GL. Mechanical basis for bone retention around dental implants. *J Biomed Mater Res B* 2007; 88B: 306-11.

7. Geramy A, Sharafoddin F. Abfraction: 3D analysis by means of the finite element method. *Dental Research* 2003; 34(7): 526-33.
8. Geramy A. Alveolar bone resorption and the center of resistance modification (3-D analysis by means of the finite element method). *American Journal of Orthodontics and Dentofacial Orthopedics* 2000; 117: 399-405.
9. Misch CE. *Dental implant prosthetics*. St Louis; Mosby. Elsevier; 2005.